

전도성 섬유의 합성에 관한 연구
 (구리이온을 도입한 Acrylonitrile-Acrylic
 Acid 계 공중합체의 도전성에 관한 연구)

Study on the Synthesis of Conducting Polymer
 (Study on the Electrical Conductivity of Acrylonitrile-Acrylic
 Acid Series Copolymers Induced by Cu Ion)

김동철*. 송해영**. 한상옥***. 전재완 *
 (Dong-Cheol Kim·Hae-Young Song·Sang-Ok Han·Jae-Wan Jeon)

요 약

Acrylonitrile-Acrylic acid 공중합체와 이를 amidation 시킨 공중합체에 구리착물을 형성시켜 IR spectrum 분석, 점도측정, 전자현미경관찰, 열분석, 전기전도성 등을 검토하였다. AN-AA 공중합체-Cu(II)와 아미드화 AN-AA 공중합체-Cu(II)착물은 pH 9의 범위에서 가장 안정한 값을 가지며, 착물이 형성되거나 Cu_xS가 도입된 공중합체는 그 구조가 compact 해짐을 알 수 있었다.

공중합체에 Cu(II) 착물이 형성되면 열안정성이 감소되며 Cu(II) 착물은 아세톤 용액에서 요오드로 dope될 때 저항값이 $10^5 \sim 10^6 \Omega \cdot cm$ 를 나타냈다. 저항값은 CuCl₂와 I₂의 양에 영향을 받으며 20 wt % 이상의 CuCl₂와 1.0 wt % I₂로 처리하였을 때 반도체영역의 저항값을 보였다. 또 Cu_xS를 도입할 경우 CuSO₄의 농도가 30 g/l로, 3시간 반응시켰을 때 가장 만족스러운 전도도값을 나타냈다. 공중합체-Cu(II)보다 구리이온을 도입한 Cu_xS-공중합체의 전도도값이 10^4 정도로서, 공중합체-Cu(II)보다 높은 전도성을 나타냈다.

ABSTRACT

The AN-AA Copolymer-Cu(II) and Amidated AN-AA Copolymer-Cu(II) complex were the most stable in the pH range of 9.

The morphology of Cu(II) complex and Cu_xS-induced had changed into compact form.

The thermal stability for Cu(II) complex and Cu_xS-induced Copolymer had been determined through DTA and TGA measurement.

As result, it has been observed that thermal stability for Cu(II) complex were stabilized less than that of Copolymer.

* 충남대학교 섬유공학과

** 충남대학교 고분자공학과

*** 충남대학교 전기공학과

The Cu(II) complex exhibited volume resistivity around $10^5\text{-}10^6 \Omega \text{ cm}$ when doped iodine in acetone. The resistivity was significantly affected by the amounts of added cupric chloride, iodine and results were satisfactorily obtained by adding more than 20wt% of cupric chloride and about 1.0wt% iodine.

The optimum condition for the introducing of CuxS was at the CuSO_4 concentration of 30g/l and the reaction time of 3 hrs.

The electrical conductivity of CuxS-induced Copolymer was higher by order of 10^4 than that of the Cu(II) complex.

1. 서 론

폴리아크릴로니트릴을 주성분으로 하는 아크릴계 섬유는 수소결합에 의한 분자결합이 강하여 가열하면 용융분해하기 때문에 용융방사를 할 수 없다. 그러나 IG (Interessen Gemeinschaft Farbenindustrie Aktiengesellschaft)사의 Resin이 로만염, 염화아연 등의 진한수용액을 사용하여 섬유를 방사한 이래 많은 용제가 개발되었고 또 공중합시킴으로써 용해성을 증대시키며 염색성 등 섬유의 성능을 향상시켜 여러가지 방법으로 아크릴계 섬유가 공업화되었다.^{1~10)}

W.A. Little^{11~12)}이 Conjugated 된 불포화화합물에 대한 전도론을 발표한 이후 전기 및 전자재료로 이용 가능한 전도성고분자의 개발은 첨단신소재로서 활발히 연구가 진행되고 있으며^{13~17)} 전도성도료, 전도성접착제, 전도성섬유, 전도성 고무, 센서, 전지 등에 부분적으로 상품화되고 있다. 미국, 일본 등지에서는 이 분야에 집중투자하고 있는 실정이며 우리나라에서도 늦은감이 있으나 필연적으로 연구하여야 할 당면과제이다.

전도성 섬유는 금속도금섬유, 탄소 섬유 및 탄소복합 합성섬유 등이 상품화 되고 있으며 이들 상품 등은 일반적으로 섬유에 전도성을 부여하기 위하여 섬유 및 섬유제품의 표면을 대전방지제로 처리하여 일시적인 효과를 얻는 방법과 섬유제품에 전도성 섬유를 혼입

하여 영구적 효과를 얻는 방법이 있다^{18~24)}

본 연구에서는 Acrylonitrile-Acrylic Acid 공중합체와 이를 Amidation 시킨 공중합체에 구리착물을 형성시켜 IR, Spectrum분석, 점도측정, 전자현미경 관찰, 열분석 등을 통하여 착물형성 최적조건을 규명하고 도전성 섬유로서의 기능을 알아보기 위하여 전기전도성을 검토하였다.

2. 시료 및 실험방법

2.1. 시료의 제작

본 실험에 사용한 시약으로는 Acrylonitrile Acrylic acid, ammonium persulfate, D.M F, Sodium bisulfate, Aluminum sulfate, Cupric chloride, 1,4-Butyrolactone, α - β -Aminopyridine, Thionyl chloride, Methanol, H_2SO_4 , KMnO_4 , H_2O_2 , Hydroxylamine sulfate, Cupric sulfate, Sodium thiosulfate 등의 1급 또는 특급시약을 사용하였으며 Acrylonitrile과 Acrylic acid의 공중합체를 합성하기 위하여 1,000ml의 삼각프라스크 nitrogen bottle, bunsen밸브, 칼때기, Thermostat 등을 사용하였다.

① AN-AA 공중합체합성

불 900 parts를 HCl 수용액으로서 pH 3으로 조절하고 플라스크내에 Ammonium persulfate 1 part와 Sodium bisulfate 0.5

parts 를 첨가하고 여기에 Acrylonitrile 95 parts 와 Acrylic acid 5parts 를 첨가하였다. 그리고 반응기 내에서 deoxygenation하기 위하여 50[°C] 절소주입하에 24시간 교반하면서 반응을 시킨후 증류수로 혼합물의 미반응 모노머를 제거하기 위하여 적은 양의 Aluminum sulfate를 반응기의 혼합물에 첨가하여 고분자를 여과분리하여 수세한후에 메틸알콜로 세척하여 50[°C] 감압하의 Oven 속에서 건조하였다.

② Amidated AN-AA 공중합체의 합성¹⁾
AN-AA 공중합체를 과잉의 Thionyl chloride로 reflux 하여 acid group 을 chloride acid group로 전환시킨후 pyridine amide를 형성시키기 위하여 α -와 β -Amino p yridine의 혼합물과 반응시켰다. Amidation의 더욱 효과적인 방법은 과잉의 Thionyl chloride로 reflux 한 5parts 의 AN-AA 공중합체와 γ -Butyrolactone에서 α -와 β -Aminopyridine을 녹인 혼합물을 4.5 parts를 130[°C]에서 1시간동안 가열한다. 이들 polymer를 물과 메칠알콜로 세척한 후 감압하에 50[°C]로 oven 속에서 건조시켰다.

③ AN-AA-Cu(II)와 Amidated AN-AA-Cu(II)착물의 제조^{17~19)}

4×10^{-2} unit mole 의 coplymer를 혼탁시킨 수용액 50ml 를 200ml 의 삼각플라스크에 넣고 여기에 5×10^{-3} M-CuCl₂ 50ml 를 넣고 0.1M-HCl과 0.1M-NaOH 용액을 가하여 pH를 조절한 후 KNO₃ 용액으로 착물의 이온강도를 유지하고 실온에서 24시간 방치한 후 착물이 형성되었다.

2.2. 실험방법

① 전기적 특성실험

AN-AA-Cu(II) 및 Amidated AN-AA-Cu(II) 착물의 전기전도도 측정시 Sampling 방법으로 17~19) 합성한 이들 시료들을 doping시키기 위하여 I₂가 녹아있는 아세톤 용액 100ml에 침지시킨후 공기중에서 10분간 건조시켰다. 다음에 과량의 요오드와 용매를 제거하기 위하여 100°C의 oven에서 건조하였다. Cu_xS도입 20~25)은 95°C의 항온조에 장치된 50ml 시험관의 수용액에서 환원제인 Hydroxylamine sulfate((NH₃OH)₂SO₄) Cupric sulfate(CuSO₄), Sodium thiosulfate(Na₂S₂O₃)의 농도를 변화시켜 가면서 다음과 같은 반응을 하였다.

Cupric sulfate와 Hydroxylamine sulfate로 이루어진 수용액 중에 AN-AA와 Amidated AN-AA 공중합체로 만든 film을 침지시켜 제1동 이온이 충분히 흡착되도록 1시간동안 침지한 후 Sodium thiosulfate를 첨가하고 반응시간을 변화시켜 가면서 반응시켰다. 반응이 끝난 시료는 꺼내어 수세하고 충분히 건조시킨후 IR pellet 장치를 이용하여 500kg/cm²의 압력을 주어 두께를 0.5~1mm의 disc로 제작하여 전극의 단면적이 10cm²가 되도록 silver paste로 도포하여 전극을 형성한 후 진공항온조에 넣어 10^{-3}

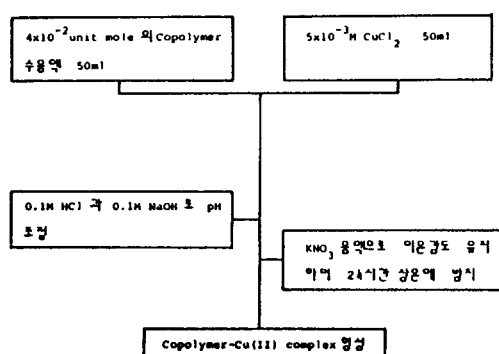


그림 1. 착물제조 방법의 블럭선도
Fig 1. Block Diagram of Preparation Method of complex.

Torr로 30분간 진공건조하고 나서 측정용 장치에 옮겨 실험하였다.

실험에 사용한 기기는 Electrometer(K-eithley 616) 및 Potentiometer(Keithley 642) 등을 사용하였으며 Cu_xS가 도입된 film의 표면전도를 측정하기 위하여 4-probe도 이용하였다.

② IR-spectrum 분석

KBr pellet 법으로 Sampling하여 Perkin-Elmer Co의 IR-spectrophotometer 710B를 사용하였다.

③ 점도측정

일정한 농도의 pH별로 형성시킨 착물수용액을 25°C의 항온조에서 Ubbelohode 점도계로 측정하였다.

④ 전자현미경 관찰

Sample을 각각 gold로 증착한 후 JEOL Ltd. JSM-35F를 사용하여 배율을 20,000배로 확대하여 찍은 사진의 morphology를 관찰하였다.

⑤ 촉매활성도 측정

제조한 착물을 사용하여 과산화수소가 분해할 때 촉매의 활성도를 알아보기 위하여 각각의 용기에 서로다른 농도의 착물수용액 10ml를 5×10^{-3} M-H₂O₂ 10ml에 가한 후 2N-H₂SO₄ 5ml를 넣고 분해하지 않고 남아있는 과산화수소의 양을 4×10^{-3} N-KMnO₄ 용액으로 적정하여 측정하였다.

3. 실험결과 및 고찰

Fig. 2은 AN-AA Copolymer-Cu(II)/AN-AA Copolymer와 Amidated AN-AA Copolymer-Cu(II)/Amidated AN-AA Copolymer의 상대점도비를 도시한 것이다.

Fig. 2의 (1)(2)에서 나타난 것처럼 착물은 pH9영역에서 상대점도비가 최소값을 나타

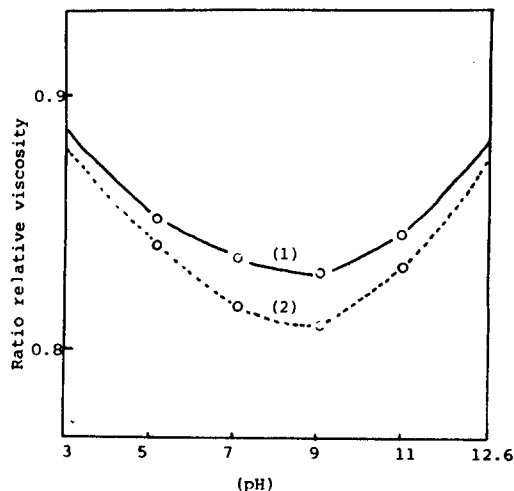


그림 2. pH의 변화에 따른 상대점도비 (25°C)

(1) AN-AA 공중합체 - Cu(II) / AN-AA 공중합체
(2) 아미드화 AN-AA 공중합체 - Cu(II) / 아미드화 AN-AA 공중합체

Fig 2. Ratio of relative viscosity for

various pH at 25°C

(1) AN-AA Copolymer - Cu(II) /

AN-AA Copolymer

(2) Amidated AN-AA Copolymer /

Amidated AN-AA Copolymer

냈기 때문에 착물이 가장 잘 형성됨을 알 수 있다.

합성된 AN-AA Copolymer와 Amidated AN-AA Copolymer 및 이들 Cu(II) 착물과 Cu_xS를 도입한 착물에 대한 IR-spectrum 분석결과는 Fig. 3과 같다. Fig. 3에서 보면 σ 결합의 CH₂에 의한 흡수대가 2,940 cm⁻¹ 및 1,458 cm⁻¹ 영역에서 나타나 있다. 또한 1,365 cm⁻¹ 영역에서 CH peak가 나타나 있다. (4)의 1,620 cm⁻¹ 영역에서 amide에 의한 흡수대가 나타나 있으며 2,245 cm⁻¹ 영역에서 -CN기에 의한 흡수대가 나타나 있다. (3)에서 1,735 cm⁻¹ 영역과 1,226 cm⁻¹ 영역에서 COOH 흡수대가 나타나 있지만 AN-AA 공중합체를 amidation하면 이들 영역에서의

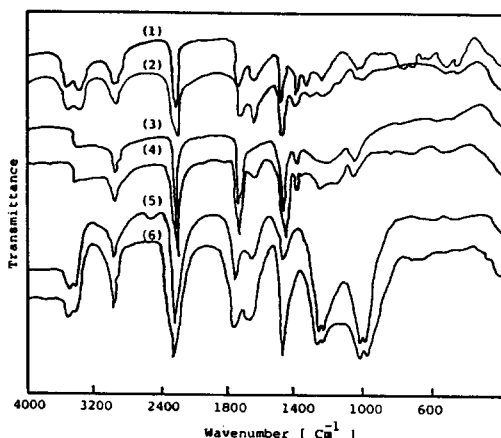


그림 3 . KBr disc 방법에 의한 합성 고분자 - 금속착물의 IR-spectra

- (1) AN-AA 공중합체 - Cu(II)
- (2) 아미드화 AN-AA 공중합체 - Cu(II)
- (3) AN-AA 공중합체
- (4) 아미드화 AN-AA 공중합체
- (5) Cu_xS-AN-AA 공중합체
- (6) Cu_xS-아미드화 AN-AA 공중합체

Fig 3 . The IR-spectra of synthetic polymer-metal complex with KBr disc method.

- (1) AN-AA Copolymer-Cu(II)
- (2) Amidated AN-AA Copolymer-Cu(II)
- (3) AN-AA Copolymer
- (4) Amidated AN-AA Copolymer
- (5) Cu_xS-AN-AA Copolymer
- (6) Cu_xS-Amidated AN-AA Copolymer

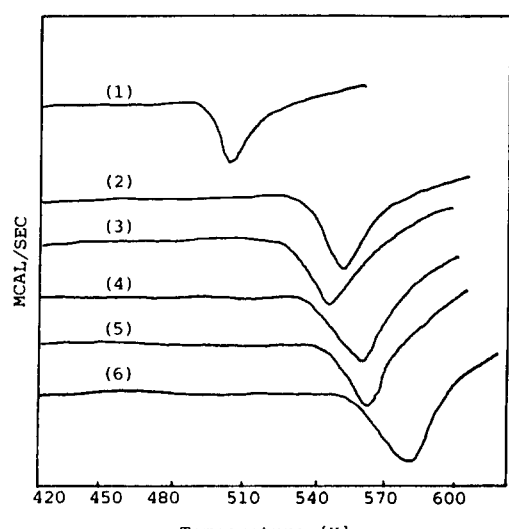


그림 4 . 공중합체 - 금속착물의 DSC 곡선

- (1) AN-AA 착물
- (2) 아미드화 AN-AA 착물
- (3) AN-AA 공중합체
- (4) 아미드화 AN-AA 공중합체
- (5) Cu_xS-AN-AA 공중합체
- (6) Cu_xS-아미드화 AN-AA 공중합체

Fig 4 . DSC Curves of Copolymer-metal Complex

- (1) AN-AA Complex
- (2) Amidated AN-AA Complex
- (3) AN-AA Copolymer
- (4) Amidated AN-AA Copolymer
- (5) Cu_xS-AN-AA Copolymer
- (6) Cu_xS-Amidated AN-AA Copolymer

흡수대가 CONH₂와 COOH기가 중첩되어 흡수대가 broad하게 나타남을 알 수 있다. (1)의 3,356~3,518 cm⁻¹ 영역에서 새로운 peak가 나타나는데 이는 Cu(II)금속이 고분자에 흡착되어 나타나는 것으로 생각되며 1,735 cm⁻¹ 흡수대가 없어지고 1,651~1,589 cm⁻¹의 흡수대 및 1,350~1,400 cm⁻¹ 영역과 1,050~1,100 cm⁻¹ 영역의 흡수대가 갈라지는 것은 고분자-금속착물에서 나타나는 특징으로 생각된다.²⁵⁾ (2)를 보면 AN-AA Copolymer-Cu(II) 착체보다 약한 흡수대가 관

측된다. 이는 고분자 구조에서 Cu(II) Complex가 적게 생긴 것으로 생각되며 또한 이는 열안정성과 전도성에 영향을 미치는 것으로 생각된다. 화학적인 방법으로 Cu_xS를 도입한 (5)와 (6)을 보면 금속과 결합한 고분자의 특성 peak가 3,518~3,356 cm⁻¹ 영역과 1,651~1,589 cm⁻¹, 1,400~1,350 cm⁻¹, 1,100~1,050 cm⁻¹ 영역에서 나타나므로 Cu_xS가 도입되었음을 알 수 있다.

Fig.4은 AN-AA Copolymer와 Amidated AN-AA copolymer 및 이들 Cu(II) 착물과

Cu_xS 를 도입한 것의 DSC분석 결과이다.

Fig.4에 나타난 바와 같이 열안정성은 AN-AA Copolymer-Cu(II), AN-AA Copolymer, Amidated AN-AA Copolymer-Cu(II), Amidated AN-AA Copolymer, Cu_xS -AN-AA Copolymer, Cu_xS -Amidated AN-AA Copolymer 순으로 나타나 있다. 여기에서 AN-AA Copolymer 보다 Amidated AN-AA Copolymer가 열안정성이 좋아진 것은 수소결합이 강화되기 때문이며 착물의 열안정성이 낮아지는 현상은 공중합체에 결합된 Cu(II)이 열분해를 촉진하기 때문이며 착물의 열안정이 낮아지는 현상은 공중합체에 결합된 Cu(II)이 열분해를 촉진하기 때문이며

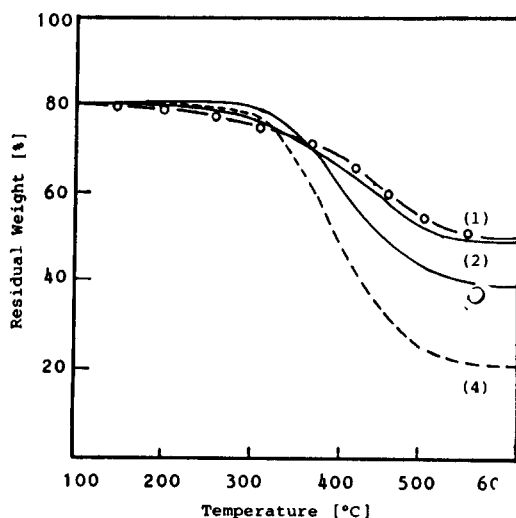


그림 5. 공중합체-Cu(II) 착물의 TGA 곡선

- (1) AN-AA 공중합체-Cu(II)
- (2) 아미드화 AN-AA 공중합체-Cu(II)
- (3) AN-AA 공중합체
- (4) 아미드화 AN-AA 공중합체

Fig 5. TGA Curves of Copolymer-Cu(II) complex.

- (1) AN-AA Copolymer-Cu(II)
- (2) Amidated AN-AA Copolymer-Cu(II)
- (3) AN-AA Copolymer
- (4) Amidated AN-AA Copolymer

또한 화학적인 방법으로 Cu_xS 를 도입한 것이 열안정성이 높은 것은 Cu_xS 가 착체형태로 형성되어 free rotation을 방해하는 현상으로²⁴⁾ 생각된다.

Fig.5는 합성된 시료들에 대한 TGA(Termogravimetric Analysis) 분석 결과이다.

TGA곡선에서 AN-AA Copolymer는 287~510°C영역에서 열분해에 의한 예리한 중량감소가 있음을 알 수 있고 그 이상의 온도에서는 낮은 중량감소가 되며 이의 Cu(II) complex는 100°C에서부터 서서히 중량감소가 일어나고 230~510°C영역에서 완만한 곡선을 나타내는 반면에 Aminated AN-AA Copolymer는 180°C에서 서서히 중량감소가 일어나다가 300~510°C 영역에서 급격한 중량감소가 일어남을 알 수 있으며 이는 Cu(II)

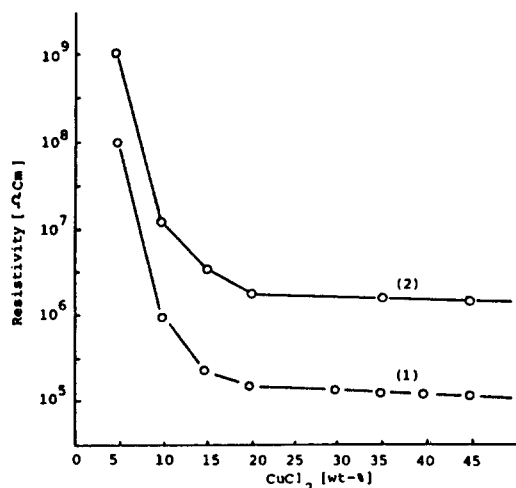


그림 6. 염화구리의 농도에 따른 AN-AA 공중

합체-Cu(II) 착물과 아미드화 AN-AA

공중합체-Cu(II) 착물의 전기저항

- (1) AN-AA 공중합체-Cu(II)
- (2) 아미드화 AN-AA 공중합체-Cu(II)

Fig 6. Electrical resistivity of AN-AA Copolymer-Cu(II) and Amidated AN-AA Copolymer-Cu(II) Complex with amount of $CuCl_2$.

- (1) AN-AA Copolymer-Cu(II)
- (2) Amidated AN-AA Copolymer-Cu(II)

complex는 150°C에서부터 서서히 중량감소가 일어나다가 220~510°C 영역에서 완만한 곡선을 나타내지만 중량감소가 크다는 것을 알 수 있다. 일반적으로 Cu(II) 착물들이 Copolymer 보다 낮은 온도에서 중량감소가 일어나는 것은 Cu(II) 이온이 고분자의 열분해를 촉진시키는 것으로 생각되며 이는 금속원자가 열전도율이 크기 때문에 고분자의 열분해에 영향을 미치기 때문이라고 생각된다.

Fig.6는 일정한 I₂의 량(3wt%)으로 doping한 AN-AA-Cu(II) 착물과 Amidated AN-AA-Cu(II) 착물의 CuCl₂의 양에 따른 체적저항률을 나타낸 것이다. CuCl₂가 약 20wt%를 넘게 되면서부터 저항률이 낮아져

서 AN-AA-Cu(II)가 10⁶[Ω·cm]이고 Amidated AN-AA-Cu(II)는 10⁶[Ω·cm]인 반도체영역의 체적저항률을 갖는다. AN-AA Copolymer-Cu(II)가 Amidated AN-AA-Copolymer-Cu(II) 보다 더욱더 착체가 잘 되기 때문에 체적저항률이 적게 나타난다고 생각되며 여러가지 분석결과와 잘 일치한다.

Fig.7은 Cu_xS-AN-AA 및 Cu_xS-Amidated AN-AA의 일정한 온도하에서 CuSO₄농도변화에 따른 저항값을 나타내었다. 이들 두 경우 CuSO₄ 농도가 증가함에 따라 전기저항값이 감소함을 알 수 있었으며 30g/ℓ 이상의 농도에서는 더 이상의 전기저항값이 감소하지 않음을 볼 수 있다.

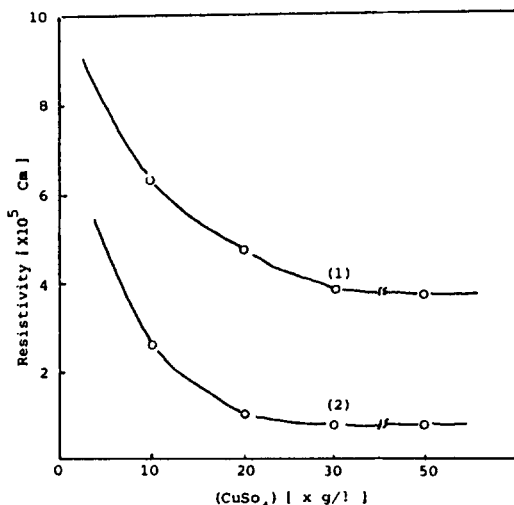


그림 7. CuSO₄의 농도변화에 따른 공중합체-

Cu_xS의 전기저항

: 반응시간 3시간

: 온도 95°C

(1) 아미드화 AN-AA 공중합체

(2) AN-AA 공중합체

Fig 7. Electrical resistivity of Copolymer-Cu_xS at different CuSO₄ Concentration.

: Reaction time, 3hours

: Temp, 95°C

(1) Amidated AN-AA Copolymer

(2) AN-AA Copolymer

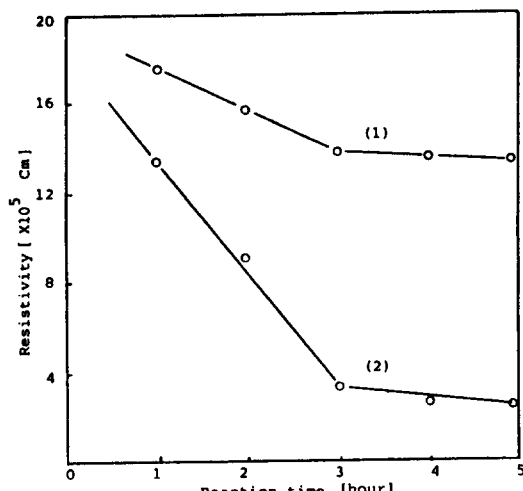


그림 8. 반응시간의 변화에 따른 Cu_xS-공중합체의 전기저항

: 온도, 95°C

: CuSO₄의 농도, 30g/ℓ

(1) 아미드화 AN-AA 공중합체

(2) AN-AA 공중합체

Fig 8. Electrical Resistivity of Cu_xS-Copolymer at different reaction time.

: Temt, 95°C

: CuSO₄, 30 g/ℓ

(1) Amidated AN-AA Copolymer

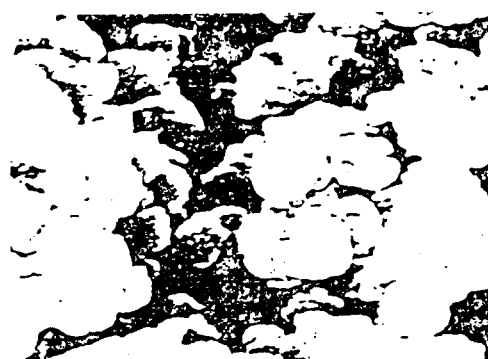
(2) AN-AA Copolymer

Fig.8 은 $\text{Cu}_x\text{S}-\text{AN-AA}$ 및 $\text{Cu}_x\text{S}-\text{A}-\text{mimidated AN-AA}$ 의 반응시간의 변화에 따른 전기저항값을 나타내었다.

이들 두 경우에 모든 반응시간이 증가함에 따라 전기저항값이 점차 감소함을 알 수 있었으며 반응시간이 3시간 이후에는 전기저

항값이 일정하였다.

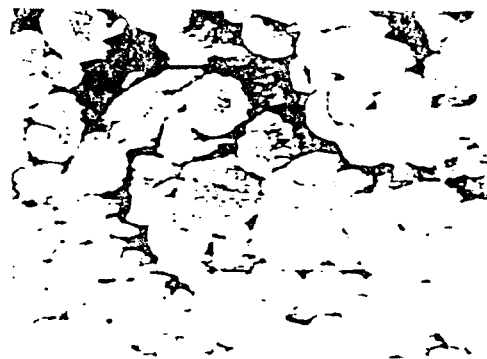
AN-AA Copolymer 와 Amidated AN-AA Copolymer 및 이들의 $\text{Cu}(\text{II})$ 착물과 Cu_xS 를 도입한 것에 대한 morphology 를 알아보기 위하여 주사전자현미경을 이용하여 찍은 사진을 photo.1 과 같다.



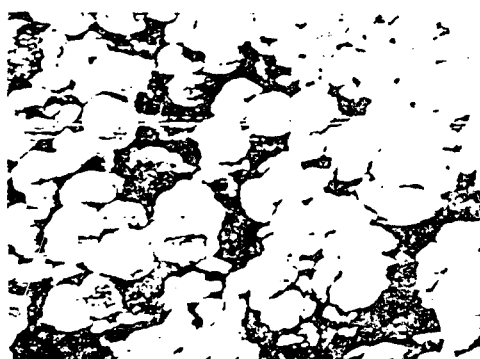
(1) AN-AA Copolymer-Cu(II)



(3) AN-AA copolymer

(5) Cu_xS-AN-AA copolymer

(2) Amidated AN-AA Copolymer-Cu(II)



(4) Amidated AN-AA Copolymer

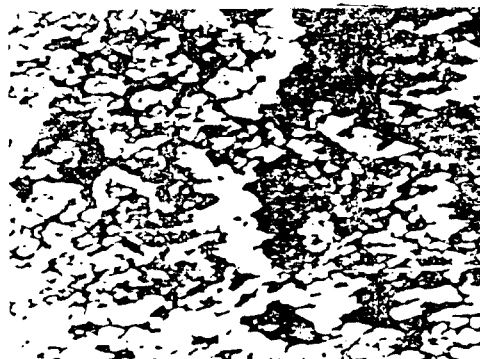
(6) Cu_xS-Amidated AN-AA Copolymer

사진 1. 고분자-Cu(II) 착물의 전자 현미경 사진

Photo 1. Scanning Electron microscope pictures of Polymer-Cu(II) Complex

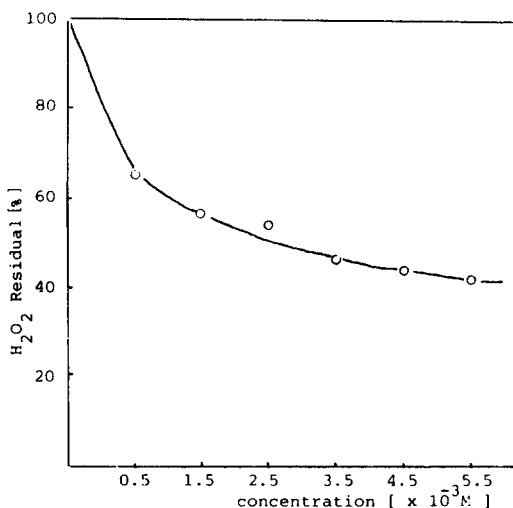


그림 9. AN-AA 공중합체-Cu(II) 착물의 과산화수소에 대한 분해반응

Fig 9. Decomposition of Hydrogen peroxide by AN-AA Copolymer-Cu(II) Complex.

사진에서 보면 Cu(II) 착물이 이루어졌거나 Cu_xS 를 도입했을 때 morphology가 변화함을 알 수 있었다. 일반적으로 이들의 착물이 형성되었거나 Cu_xS 가 도입되었을 때 금속이온들이 Aggregation이 생겨 그들의 Domain이나 Cluster 현상이 생긴다. 착물이나 Cu_xS 를 도입한 것의 morphology는 Copolymer보다 더욱 compact하게 되어 있음을 알 수 있다.

Fig.9는 pH 9.에서 AN-AA Copolymer-Cu(II) 착물을 형성하여 착물의 농도변화에 따른 과산화수소의 분해반응을 측정하였다. 반응시간 20분 동안 남아있는 과산화수소의 양을 측정하여 나타낸 결과 AN-AA Copolymer-Cu(II) 착물의 촉매활성은 착물의 농도에 의존하며 반응액의 pH가 일정할 때 착물의 농도가 증가할수록 촉매의 활성이 증가한다. $5 \times 10^{-5} M$ 이상의 농도에서는 AN-AA Copolymer-Cu(II) 착물의 거의 비슷한 촉매활성을 띠고 있음을 알았다.

4. 결 론

본 연구에서 AN-AA공중합체와 이를 Amidation 시킨 공중합체에 구리착물을 형성하거나 Cu_xS 를 도입하여 IR-spectrum 분석 점도측정, 전자현미경관찰 열분석을 통해 검토한 결과는 다음과 같은 결론을 얻었다.

1) AN-AA-Cu(II)와 Amidated AN-AA-Cu(II) 착물은 pH 9영역에서 착물이 잘 형성되며 표면구조는 AN-AA와 Amidated AN-AA보다 더욱 Compact 해짐을 알았다.

2) 열안정성은 Cu(II) 착물을 형성하는 것이 순수한 Copolymer 보다 낮으며 Cu_xS 를 도입한 것은 높게 나타난다.

3) AN-AA-Cu(II)와 Amidated AN-AA-Cu(II) 착물의 전도도가 좋아지기 위해서는 $CuCl_2$ 의 양이 20wt %이상이 되어야 한다.

4) Cu_xS 를 도입시킬 때 $CuSO_4$ 농도는 $30 g/\ell$, 반응시간은 3시간으로 하였을 때 최소의 전기저항값을 얻을 수 있다.

5) Cu(II) 착물이나 Cu_xS 를 도입한 것의 전도도값은 반도체 영역의 전도도값에 포함되며 Cu(II) 착물의 경우보다 Cu_xS 를 도입한 경우가 더욱 높은 전기전도성을 나타낸다.

* 이 논문은 1986년도 문교부 자유과학술연구조성비에 의하여 연구되었음.

참 고 문 헌

- 1) G.F.D. Alelio; "Dye Receptive Acrylonitrile polymerization", U.S. Pat, 2. 734. 888(1956)
- 2) G.E. Schldknecht; "Solution polymerization of Acrylonitrile", U.S. Pat, 2. 768, 148(1956)
- 3) J.C. Richards; U.S. Pat, 2, 528, 710(1950)

- 4) H.W. Arnold: "Acrylonitrile-vinylpyridine copolymers," U.S. Pat, 2, 491, 471(1949)
 - 5) G. W. Stanton: "Salt solutions of High Acrylonitrile polymers," U.S. Pat, 2, 648, 646(1951)
 - 6) G.W. Stanton: "polymerization Acrylonitrile in Aqueous mixed salts," U.S. Pat, 2, 648-647(1951)
 - 7) C.S. Marrel: "Compositions containing A polymer of acrylonitrile and N,N Dimethylacetamide," U.S. Pat, 2, 649, 427(1949)
 - 8) G.H. Latham: "polymer products," U.S. Pat, 2, 404, 714 (1949)
 - 9) R.C. Houtz: "preparation of solutions," U.S. Pat, 2, 404, 717(1944)
 - 10) M.M Brubaker: "Organic Compound polymerization process," U.S. Pat, 2, 462, 354(1942)
 - 11) W.A. Little, *phys. Rev.*, 135(6A) A1416(1964)
 - 12) W.A. Little, *J. phys. Rev.*, CN17, 3(1967)
 - 13) C. K. Chiang, Y.W. Park, A.J. Heeger and H. Shirakawa, Conducting polymers: "Halogen doped polyacetylene," *J. chem. phys.*, 69, 5098(1978)
 - 14) W.D. Gill, *J. Appl. phys.*, 43, 5033(1972)
 - 15) D.A. Searer, "Electrical properties of polymers" Academic press, New York.
 - (1982)
 - 16) H. Block, *Adv. poly. Sci.*, 33, 93(1979)
 - 17) K. Kamisako, H. Sasabe and K. Shinohara, "Charge Storage, Charge Transport and "Electrostatics With their Application," Kodansha, Tokyo (1979)
 - 18) F. Higashi, C.S. Cho and H.K. Kakinoki, *J. poly. sci., poly. chem. Ed.*, 1, 15, 2303(1977)
 - 19) G.C. Robert, M. Reinhart, "Cation Exchange Materials from cotton and polyvinyl phosphate," *Ind. Eng. chem.*, 46, 1043(1960)
 - 20) K. Araya, K. Kobunshi 35, 136(1986)
 - 21) S. Tomibe, R. Gomibuchi and K. Takahashi, U.S. pat, 4, 378, 226(1983)
 - 22) M. Okoniewaki, J. Keprowaka and J. Sojka-Ledakowicz, Pd, PL110, 244(1981) Pol,
 - 23) E.E Magat and D. Tanner, U.S. Pat, 3, 413, 378(1968)
 - 24) 장홍운, 임승순, 허영우, 김진우, "도전성, polyester 섬유 및 필름에 관한 연구," 한국 고분자학회지, 9, 1 (1985)
 - 25) E.Y. Kang, S.G. Lee and S.S. Im, "Properties of Cuxs-induced, Conductive PET film," polymer(korea) 10, 2, 165(1986)